

ΠΡΑΚΤΙΚΑ ΤΗΣ ΑΚΑΔΗΜΙΑΣ ΑΘΗΝΩΝ

ΣΥΝΕΔΡΙΑ ΤΗΣ 24^{ΗΣ} ΑΠΡΙΛΙΟΥ 1980

ΠΡΟΕΔΡΙΑ ΓΕΩΡΓΙΟΥ Ε. ΜΥΛΩΝΑ

ΑΣΤΡΟΝΟΜΙΑ.—**Χρονικαὶ μεταβολαὶ τοῦ χρωμοσφαιρικοῦ δικτύου**, ὑπὸ **Ε. Κ. Δάρα** καὶ **Κ. Ι. Μακρῆ***. Ἀνεκοινώθη ὑπὸ τοῦ Ἀκαδημαϊκοῦ κ. Ἰωάννου Ξανθάκη.

I. ΕΙΣΑΓΩΓΗ

Είναι γνωστὸν ὅτι ὁ ἥλιος παρουσιάζει μίαν ἐνδεκαετὴ μεταβολήν, εἰκοσιδιετὴ ἀν ληφθῆ ὑπ’ ὄψιν καὶ ἡ πολικότης τοῦ πεδίου, βασικῶς λόγῳ τῆς ἀλλαγῆς τοῦ γενικοῦ του μαγνητικοῦ πεδίου. Γνωσταὶ ἐκδηλώσεις τοῦ ἥλιακοῦ αὐτοῦ κύκλου εἶναι ἡ ἀλλαγὴ τοῦ ἀριθμοῦ τῶν κηλίδων, τοῦ ἀριθμοῦ καὶ τῆς ἐπιφανείας τῶν πυρσῶν, ἡ ἔμφανισις ἐκλάμψεων καὶ ἐκρηκτικῶν προεξοχῶν κλπ. Μέχρι τώρα δὲν ἔχει δοθῆ μεγάλη προσοχὴ εἰς τὴν μεταβολὴν τοῦ χρωμοσφαιρικοῦ δικτύου. Ἡ σχέσις μεταξὺ λαμπρότητος καὶ ἐντάσεως τοῦ μαγνητικοῦ πεδίου ἔχει ὑποδειχθῆ ἀπὸ τοὺς Leighton (1959), Simon and Leighton (1964). Οἱ Tsap καὶ Laba (1973) ἐμελέτησαν τὴν μεταβολὴν τοῦ χρωμοσφαιρικοῦ δικτύου εἰς τὴν γραμμὴν K τοῦ CaII κατὰ τὴν διάρκειαν περίπου ἐνὸς ἥλιακοῦ κύκλου (1956-70). Ενδίσκουν δὲν ἡ λαμπρότης τοῦ χρωμοσφαιρικοῦ δικτύου εἰς τὴν ἴσημερινὴν καὶ εἰς τὰς πολικὰς περιοχὰς τοῦ ἥλιου μεταβάλλεται μετὰ τῆς ἥλιακῆς δραστηριότητος. Πιστεύουν δὲν ἡ συμπεριφορὰ τοῦ χρωμοσφαιρικοῦ δικτύου συνδέεται στενῶς μὲ τὰς μεταβολὰς τοῦ γενικοῦ ἥλιακοῦ μαγνητικοῦ πεδίου. Ὁ Skumanich (1975) εὑρίσκει ἐπίσης ὅτι ἡ λαμπρότης τοῦ δικτύου αὐξάνεται γραμμικῶς μετὰ τοῦ μαγνητικοῦ πεδίου.

* H. C. DARA - C. J. MACRIS, On the variations of the Chromospheric Network.

Έθεωρήσαμεν ότι μία λεπτομερής μελέτη τῶν μεταβολῶν τοῦ χρωμοσφαιρικοῦ δικτύου, ίδιαιτέρως τῆς μεταβολῆς τῆς σχετικῆς ἐντάσεως σχηματισμῶν τὰς δόποιας ὀνομάζομεν «νιφάδας», εἰς φασματοηλιογράμματα τοῦ ήλιακοῦ δίσκου ληφθέντα διὰ τῆς γραμμῆς Κ τοῦ CaII κατὰ τὴν διάρκειαν τοῦ 19ου ήλιακοῦ κύκλου, θὰ ᾧτο ἐνδιαφέρουσα. Αἱ νιφάδες εἶναι σχηματισμοὶ διαστάσεων 30 sec αἱ δόποιαι ἐμφανίζονται εἰς τὰ ὅρια τῶν ὑπεροκόκων καὶ σχηματίζουν τὸ χρωμοσφαιρικὸν δίκτυον. Τὰς μελετῶμεν εἰς τὰς πολικὰς περιοχάς, $\pm 55^\circ$ ὥστε ἀκόμη καὶ εἰς τὰ μέγιστα τῆς ήλιακῆς δραστηριότητος νὰ ἀποφεύγωμεν ἐντελῶς τὰ κέντρα δράσεως καὶ ἐπίσης διότι εἶναι πιθανὸν ἐὰν ὑπάρχῃ κάποια μεταβολὴ αὐτῇ νὰ εἶναι ἐντονωτέρᾳ ἔκει, ὅπου κατὰ τὴν θεωρίαν τοῦ Babcock ἔξερχονται αἱ δυναμικαὶ γραμμαὶ τοῦ γενικοῦ μαγνητικοῦ πεδίου.

II. ΥΛΙΚΟ ΠΑΡΑΤΗΡΗΣΕΩΣ - ΕΠΕΞΕΡΓΑΣΙΑ ΔΕΔΟΜΕΝΩΝ

Τὸ ὑλικὸν τὸ δόποιον ἔχοησιμοποιήθη διὰ τὴν μελέτην αὐτὴν συνίσταται ἐκ 17 φασματοηλιογραμμάτων εἰς τὴν γραμμὴν Κ τοῦ CaII ποὺ ἐπελέγησαν ἀπὸ τὸ ὑλικὸν τοῦ Ἀστεροσκοπείου Arcetri. Ἡ περιοχὴ ποὺ ἐπιλέγεται ἀπὸ τὴν δευτέραν σχισμὴν εἶναι $0,1675 \text{ \AA}$ εἰς τὸ κέντρον τῆς γραμμῆς Κ. Τὸ φύλτρον ποὺ ἔχοησιμοποιήθη εἶναι 4G3, ἐκάστη δὲ πλάξ ἐβαθμολογήθη μὲ μίαν φωτομετρικὴν κλίμακα Zeiss K58. Ὁ φασματοηλιογράφος ἔχει ἀντικειμενικὸν φακὸν διαμέτρου 15 ἑκ. καὶ ἐστιακὴν ἀπόστασιν 6,85 μέτρων. Ἡ μέση διάμετρος τοῦ ήλίου εἰς τὸ ἐστιακὸν ἐπίπεδον εἶναι 63,5 μμ. Οὔτως 1 μμ εἰς τὴν πλάκα ἀντιστοιχεῖ εἰς 30,3 δ. τόξου. Ἡ ἐπιλογὴ τῶν πλακῶν ᾧτο τοιαύτη ὥστε νὰ ἔξασφαλίζῃ τὴν καλυτέραν ποιότητα, τὸν αὐτὸν περίπου χρόνον ἐκθέσεως καὶ τὴν κατὰ τὸ δυνατὸν ἀπουσίαν κέντρων δράσεως ἐπὶ τοῦ ήλιακοῦ δίσκου, ἐφ' ὅσον αἱ νιφάδες διακρίνονται εὐκρινῶς εἰς τὰς ἡρέμους περιοχάς αὐτοῦ.

Διὰ τὴν φωτομετρίαν τῶν πλακῶν ἔχοησιμοποιήσαμεν τὸ μικροφωτόμετρον Joyce-Loebl τοῦ Κέντρου Ἐρευνῶν Ἀστρονομίας καὶ Ἐφηρημοσμένων Μαθηματικῶν. Αἱ διαστάσεις τῆς σχισμῆς ἦσαν $150 \times 150 \text{ mm}^2$, δηλαδὴ μικρότεραι καὶ ἀπὸ τὰς διαστάσεις τῆς μικροτέρας νιφάδος. Τὸ πλάτος τῆς ἐπιλεγείσης ζώνης περὶ τὰς $\pm 55^\circ$ ᾧτο 40 δ. τόξου, ἵσον δηλαδὴ πρὸς τὴν διάστασιν τῆς μεγαλυτέρας νιφάδος. Εἰς ἐκάστην ζώνην ἐλήφθησαν ἐννέα ἐγγραφήματα.

Εἰς ἐκαστον ἐγγράφημα ἔχαράχθη μία ὄμαλὴ καμπύλη ἡ δόποια διέρχεται διὰ τῶν περισσοτέρων σημείων τοῦ ἐγγραφήματος μὲ καμηλὴν πυκνότητα. Ἡ καμπύλη αὐτὴ καραχθεῖσα ὑπὸ τοῦ ἰδίου παρατηρητοῦ, εἰς διαφορετικὰς χρονικὰς

περιόδους, δὲν διαφέρει τόσον ώστε νὰ ἐπηρεάζῃ, ὅπως θὰ ἔδωμεν, αἰσθητῶς τὰς μετρήσεις.

Ἡ ἔντασις ἔκαστης νιφάδος καθὼς καὶ τοῦ ἀντιστοίχου ὑποβάθρου μετρᾶται εἰς ἕκεῖνο τὸ ἐγγράφημα ὃπου ἡ ἔντασις διὰ τὴν συγκεκριμένην νιφάδα εἶναι μεγίστη. Τὸ ἐγγράφημα τοῦτο ἐπιλέγεται κατόπιν συγκρίσεως μὲ τὰ ὑπόλοιπα δικτὸ τῆς αὐτῆς ζώνης. ² Απὸ τὰς μετρήσεις αὐτὰς τῶν τιμῶν ἐντάσεως καὶ μὲ τὰς καταλλήλους μετατροπὰς λαμβάνομεν τὴν τιμὴν τῆς σχετικῆς ἐντάσεως ἐκάστης νιφάδος I_F / I_B .

Ο πίναξ I δίδει, τὰς μέσας τιμὰς τοῦ λόγου I_F / I_B δι' ἐκάστην πλάκα καθὼς καὶ μέσας τιμὰς δι' ὀρισμένας ἐπιλεγέσας χρονικὰς περιόδους. Δι' ἐκάστην πλάκα δίδομεν τὸν ἀριθμὸν τῶν νιφάδων ποὺ ἐμετρήθησαν, τὴν μέσην τιμὴν I_F / I_B καὶ τὴν σταθερὰν ἀπόκλισιν. Συγκρίνοντες τὸν λόγον ἐντάσεων κατὰ τὰς περιόδους μεγίστου καὶ ἐλαχίστου τῆς ἡλιακῆς δραστηριότητος εὑρίσκομεν ὅτι ὑπάρχει στατιστικῶς σημαντικὴ διαφορὰ (I_F / I_B _{μεγ.} = 1,45, I_F / I_B _{ελ.} = 1,33).

Τὸ μέγιστον σφάλμα ποὺ εἶναι δυνατὸν νὰ ἔχῃ κανεὶς προέρχεται ἀπὸ τὴν χάραξιν τῆς καμπύλης ὑποβάθρου. Χαράυσοντες τὴν γραμμὴν αὐτὴν εἰς ἀπεκούσας χρονικὰς περιόδους ἡ μεγαλυτέρα διαφορὰ ποὺ εἶναι δυνατὸν νὰ προκύψῃ εἶναι $\pm 0,02$, ποὺ σημαίνει πῶς εἰς τὴν χειροτέραν τῶν περιπτώσεων ὃπου αἱ μετρήσεις δῆλων τῶν νιφάδων θὰ παρουσίαζον τὸ μέγιστον σφάλμα, καὶ αἱ τιμαὶ περὶ τὸ μέγιστον καὶ ἐλάχιστον τοῦ ἡλιακοῦ κύκλου θὰ προσήγγιζον, ἡ διαφορά των θὰ παρέμενεν στατιστικῶς σημαντική. ³ Επίσης ὑπολογίζομεν ὅτι τὸ σφάλμα κατὰ τὴν μέτρησιν εἰς τὰ ἐγγραφήματα μεταβάλλει τὸν λόγον I_F / I_B κατὰ $\pm 0,003$.

Τὸ σχῆμα 1 παριστᾶ τὴν σχετικὴν ἔντασιν καθὼς καὶ τὸν ἀριθμὸν Wolf R, συναρτήσει τοῦ χρόνου.

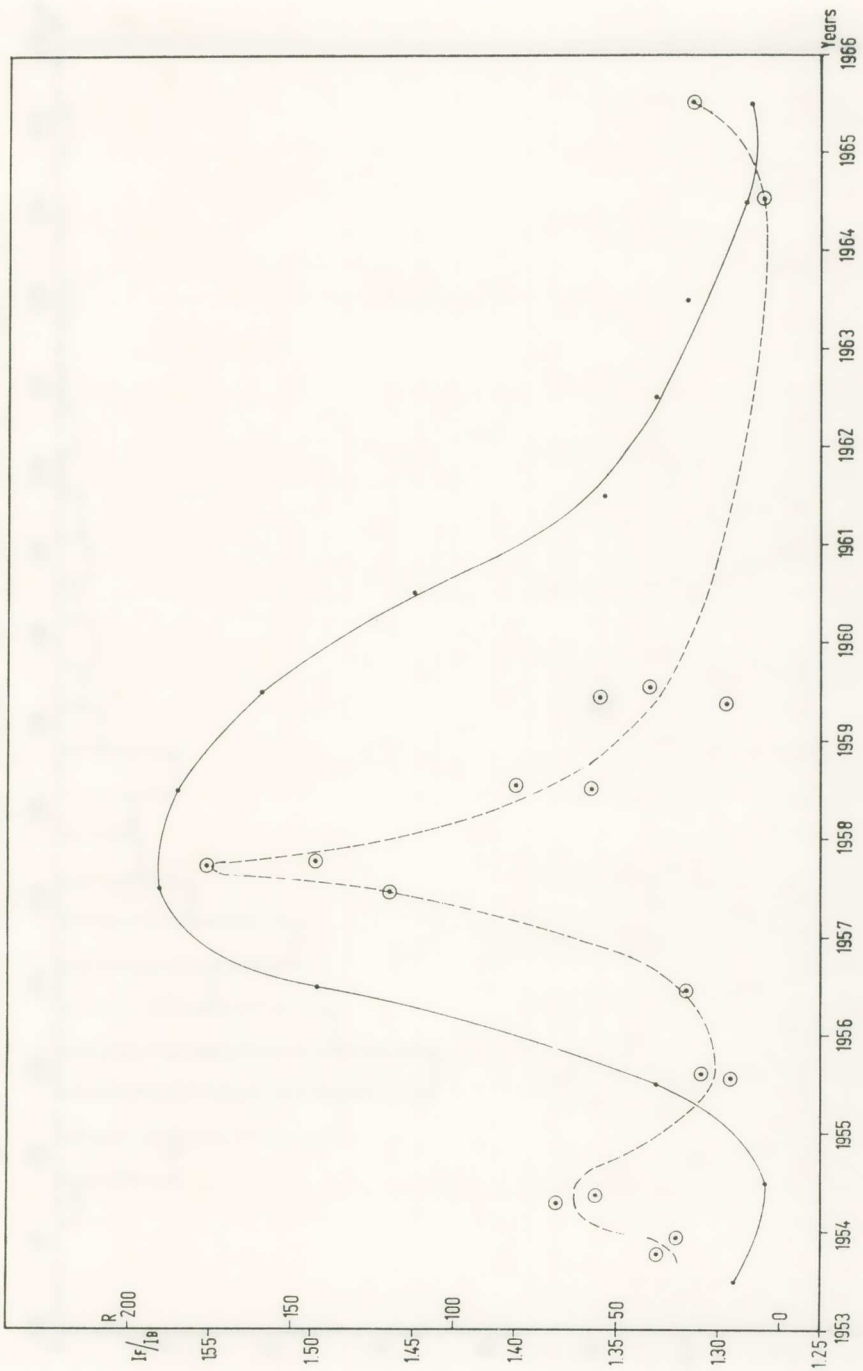
Ἐκ τοῦ διαγράμματος τούτου βλέπομεν ὅτι ἡ μεγίστη τιμὴ τοῦ λόγου I_F / I_B ἐμφανίζεται περὶ τὸ μέγιστον τοῦ ἀριθμοῦ R, ἐνῶ εἰς τὴν ἐλαχίστην τιμὴν τοῦ R ἐμφανίζεται ἔνα δευτερεῦνον μέγιστον τοῦ λόγου I_F / I_B .

Γενικῶς ὑπάρχει μιὰ ηὑξημένη ἔντασις ὅταν ἡ τιμὴ τοῦ R ὑπερβαίνει τὴν τιμὴν 100. ($R > 100$).

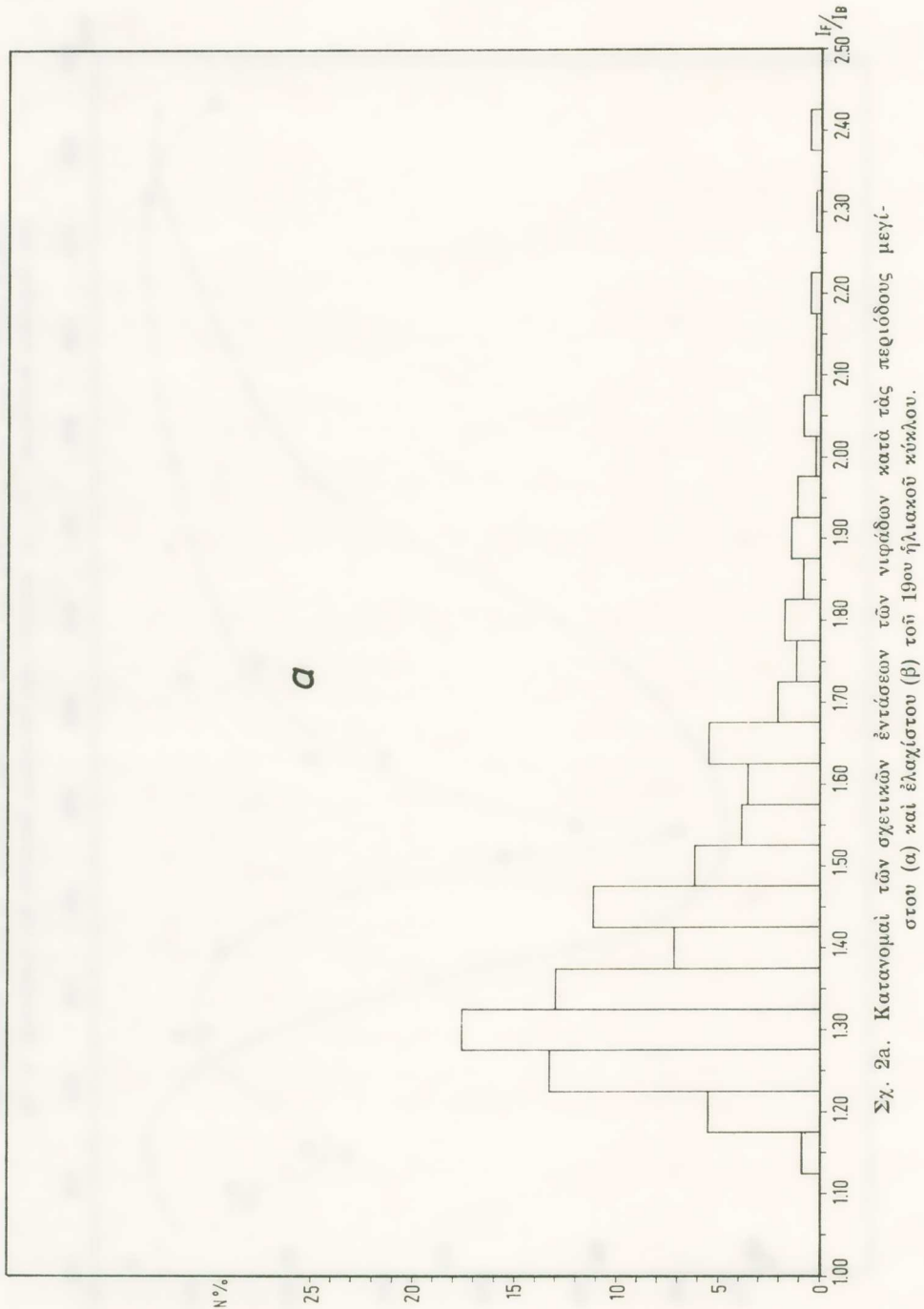
Εἰς τὸ δεύτερον σχῆμα δίδομεν δύο κανονικοποιημένας κατανομὰς τῶν ἐντάσεων τῶν νιφάδων. Μίαν δι' ἔκεινας περὶ τὸ μέγιστον καὶ μίαν διὰ τὰς περὶ τὰ ἐλάχιστα. ⁴ Η πρώτη κατανομὴ παρατηροῦμεν ὅτι καταλαμβάνει μεγαλυτέραν περιοχήν, 1,15 ἔως 2,40 καὶ τὸ δῆλον ἰστόγραμμα εἶναι μετατοπισμένον πρὸς μεγαλυτέρας τιμάς. ⁵ Η δευτέρα κατανομὴ καλύπτει τὸ διάστημα τιμῶν μεταξὺ 1,10 καὶ 1,85. ⁶ Ελάχισται νιφάδες ἔχουν σχετικὴν ἔντασιν μεγαλυτέραν τοῦ 1,45 καὶ αἱ περισσότεραι ἔξι αὐτῶν κυμαίνονται μεταξὺ 1,20 καὶ 1,30.

Π Ι Ν Α Ε I

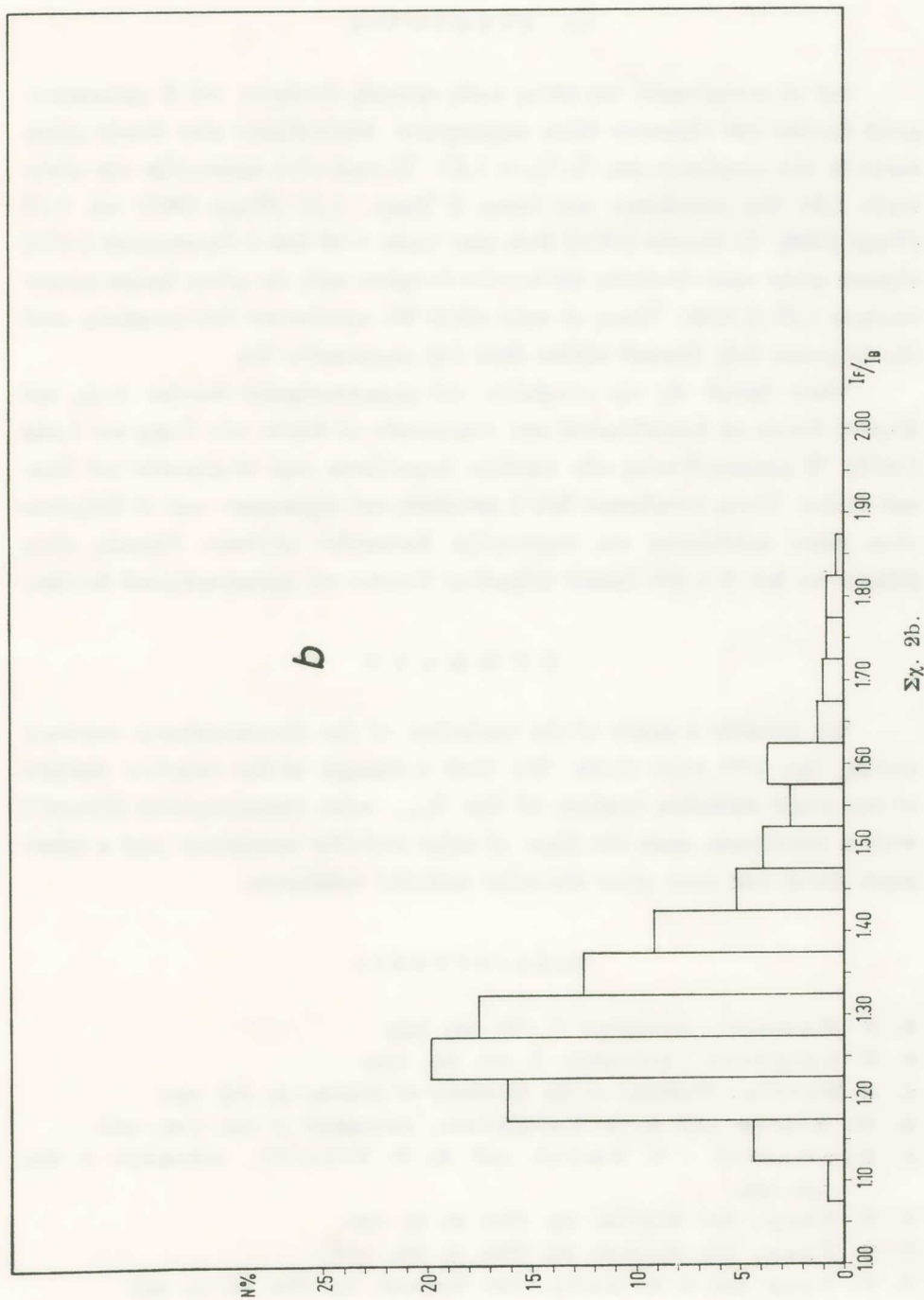
° Ε λ ἄ χιστον		$\bar{I}_F / \bar{I}_B = 1.35$	s = 0.14	No = 266
Π λ ἄ ξ	Ημερομηνία	\bar{I}_F / \bar{I}_B	s	No
AC 228	6 - 10 - 53	1.33	0.14	64
AC 271	6 - 12 - 53	1.32	0.14	75
AC 336	15 - 4 - 54	1.38	0.14	64
AC 343	12 - 5 - 54	1.36	0.13	63
M é σ o ν		$\bar{I}_F / \bar{I}_B = 1.31$	s = 0.10	No = 168
Π λ ἄ ξ	Ημερομηνία	\bar{I}_F / \bar{I}_B	s	No
AC 657	22 - 7 - 55	1.29	0.09	57
AC 680	10 - 8 - 55	1.31	0.11	55
AD 71	14 - 6 - 56	1.32	0.11	56
M é γιστον		$\bar{I}_F / \bar{I}_B = 1.46$	s = 0.25	No = 331
Π λ ἄ ξ	Ημερομηνία	\bar{I}_F / \bar{I}_B	s	No
AD 766	17 - 6 - 57	1.46	0.22	74
AE 105	19 - 9 - 57	1.55	0.37	83
AE 132	3 - 10 - 57	1.50	0.30	57
AE 796	3 - 7 - 58	1.36	0.15	55
AE 855	16 - 7 - 58	1.40	0.18	62
M é σ o ν		$\bar{I}_F / \bar{I}_B = 1.33$	s = 0.12	No = 155
Π λ ἄ ξ	Ημερομηνία	\bar{I}_F / \bar{I}_B	s	No
AF 641	20 - 5 - 59	1.30	0.09	50
AF 697	88 - 6 - 59	1.36	0.14	57
AF 861	18 - 7 - 59	1.33	0.14	58
° Ε λ ἄ χιστον		$\bar{I}_F / \bar{I}_B = 1.30$	s = 0.13	No = 117
Π λ ἄ ξ	Ημερομηνία	\bar{I}_F / \bar{I}_B	s	No
AI 111	13 - 7 - 64	1.28	0.11	56
AI 443	13 - 7 - 65	1.31	0.14	61



Σχ. 1. Μεταβολή τῆς σχετικῆς ἐντάσεως τῶν γιφάδων I_F / I_B , ἐστιγμένη καιτού, καὶ τοῦ ἀριθμοῦ Wolf R, συνεχῆς καμπύλη, κατὰ τὴν διάρκειαν τοῦ 19ου γηλιαζού κύκλου.



Σχ. 2a. Κατανομή τῶν σχετικῶν ἐντάσεων τῶν νιφάδων κατὰ τὰς περιόδους μετίστροφα (α) και ἔλαχίστου (β) τοῦ 19ου ἡλικιού κύκλου.



III. ΣΥΖΗΤΗΣΙΣ

Διὰ νὰ συγκρίνωμεν τὰς μέσας τιμὰς σχετικῆς ἐντάσεως τοῦ K χρωμοσφαιρικοῦ δικτύου ποὺ εὑρίσκουν ἄλλοι παρατηρηταὶ ὑπολογίζομεν μίαν δλικὴν μέσην τιμὴν ἐκ τῶν μετρήσεών μας $I_F/I_B = 1,37$. Ἡ τιμὴ αὐτὴ προσεγγίζει τὴν μέσην τιμὴν 1,34 δύο μετρήσεων ποὺ ἔκανε ὁ Tsap: 1,57 (Tsap 1961) καὶ 1,12 (Tsap 1966). Ο Macris (1974) δίνει μίαν τιμὴν 1,48 ἐνῷ ὁ Skumanich (1975) εὑρίσκει μέσην τιμὴν ἐντάσεως τοῦ δικτύου ἐν σχέσει πρὸς τὴν μέσην ἡρεμον χρωμοσφαιρικαν $1,27 \pm 0,03$. Ὁμως αἱ τιμαὶ αὐταὶ δὲν προκύπτουν ἀπὸ μετρήσεις κατὰ τὴν διάρκειαν ἐνὸς ἥλιακοῦ κύκλου ἀλλὰ ἀπὸ μεμονωμένα ἔτη.

Οσον ἀφορᾶ εἰς τὴν μεταβολὴν τοῦ χρωμοσφαιρικοῦ δικτύου ἐντὸς τοῦ ἥλιακοῦ δίσκου τὰ ἀποτελέσματά μας συμφωνοῦν μὲ ἐκεῖνα τῶν Tsap καὶ Laba (1973). Ἡ μεγίστη ἐντασίς τῶν νιφάδων ἐμφανίζεται περὶ τὸ μέγιστον τοῦ ἥλιακοῦ κύκλου. Ὁπως ἀνεφέραμεν ἡδη ἡ μεταβολὴ ποὺ εὑρίσκομεν περὶ τὸ ἐλάχιστον εἶναι πλέον πολύπλοκος καὶ παρουσιάζει δευτερεῦον μέγιστον. Γενικῶς εἶναι βέβαιον ὅτι διὰ $R > 100$ ἔχομεν ηὐξημένην ἐντασίν τοῦ χρωμοσφαιρικοῦ δικτύου.

S U M M A R Y

We present a study of the variation of the chromospheric network during the 19th solar cycle. We find a change of the relative density of the small emission centers of the K_{2,3} solar chromosphere (flocculi) with a maximum near the time of solar activity maximum and a minimum about one year after the solar activity minimum.

ΒΙΒΛΙΟΓΡΑΦΙΑ

- R. F. Howard, *Astrophys. J.* 130, 193, 1959.
- R. B. Leighton, *Astrophys. J.* 130, 366, 1959.
- C. J. Macris, *Praktika of the Akademy of Athens*, 49, 215, 1974.
- G. W. Simon and R. B. Leighton, *Astrophys. J.* 140, 1120, 1964.
- A. Skumanich - C. Smyth and E. N. Frazier, *Astrophys. J.* 200, 747, 1975.
- T. T. Tsap, *Izv. Krymsk. Ap. Obs.* 26, 45, 1961.
- T. T. Tsap, *Izv. Krymsk. Ap. Obs.* 35, 161, 1966.
- T. T. Tsap and I. S. Laba, *Izv. Krymsk. Ap. Obs.* 48, 73, 1973